

بررسی عددی عوامل مؤثر بر توزیع فشار در ناحیه تماس دیسک و سنگ در فرآیند برش خطی سنگ

رضا محمدی^{۱*}; جعفر خادمی حمیدی^۲; فرهاد صمیمی نمین^۳

۱- دانش‌آموخته‌ی کارشناسی ارشد مهندسی معدن گرایش مکانیک سنگ

۲- استادیار؛ دانشکده‌ی مهندسی معدن، دانشگاه تربیت مدرس تهران

۳- استادیار؛ دانشکده‌ی مهندسی معدن و متالوژی، دانشگاه زنجان

دریافت دست‌نوشته: ۱۳۹۵/۰۸/۱۹؛ پذیرش دست‌نوشته: ۱۳۹۶/۰۷/۱۹

شناسه دیجیتال (DOI): 10.22044/tuse.2017.4979.1288

چکیده

واژگان کلیدی

برآورد نیروهای برش وارد بر یک تیغه دیسکی منفرد در فرآیند برش سنگ برای طراحی و پیش‌بینی عملکرد ماشین‌های حفر تونل (*TBM*) مورد استفاده قرار می‌گیرد. از طرفی، نیروهای برش نتیجه فشار در ناحیه تماس بین برش دهنده دیسکی و سطح سنگ است. در این مطالعه، مدل‌سازی عددی فرآیند برش خطی سنگ به‌وسیله برش دهنده دیسکی با استفاده از کد تجاری المان محدود *ABAQUS* مطرح شده است و برای راستی‌آزمایی مدل، فشار ناحیه تماس دیسک و سنگ در مقایسه با رابطه نیمه نظری رستمی (۱۹۹۷) مورد بررسی قرار گرفته است و با حصول درصد خطای کمتر از ۱۴ درصد، مطابقت بسیار خوبی بین مدل و رابطه نیمه نظری در ناحیه توزیع فشار زیر دیسک حاصل شده است. از دیگر نتایج شبیه‌سازی عددی انجام شده، تأثیر پارامترهای هندسی دیسک بر توزیع فشار در ناحیه تماس دیسک و سنگ در فرآیند برش خطی سنگ است.

۱- مقدمه

امروزه حفاری مکانیزه، جنبه‌ی رایجی از حفاری‌های زیرزمینی را دربرمی‌گیرد و نقش آن در توسعه فضاهای زیرزمینی، از جمله تونل‌ها، چاه‌ها، و دیگر کاربردهای معدنی اهمیت بسیاری را به خود گرفته است. از مهم‌ترین مسائل موجود در کاربرد موققیت‌آمیز حفاره‌ای مکانیزه، بهینه‌سازی طراحی و برآورد دقیق عملکرد این ماشین‌ها بوده است. موضوع پیش‌بینی عملکرد یک ماشین تونل‌زنی اگرچه با توجه به ابعاد آن ممکن است بزرگ‌مقیاس فرض شود، اما به همان اندازه کوچک‌مقیاس و در حد اندرکنش لبه نازک یک دیسک برندۀ با سنگ و در نتیجه شکست سنگ و نفوذ دیسک است. مدل‌های زیادی طی سال‌ها برای پیش‌بینی عملکرد *TBM*‌های

سنگ سخت ارائه شده است. این مدل‌های می‌توان به دو گروه اصلی تجربی و نیمه‌نظری تقسیم کرد.
مدل‌های تجربی بر اساس بانک اطلاعاتی حاصل از داده‌های تاریخی از پروژه‌های قبلی و تحلیل‌های آماری ارائه می‌شود. این مدل‌ها پارامترهای توده‌سنگ و مقیاس واقعی ماشین‌زمین را در نظر می‌گیرد اما دقت آن‌ها تا حد زیادی به حجم و دامنه داده‌های موجود از شرایط زمین و ماشین در بانک اطلاعاتی محدود می‌شود. در مدل‌های نیمه‌نظری، نیروهای برش دیسک بر اساس روابط تعادل نیرو و گشتاور از یک سو و آزمون‌های آزمایشگاهی برای وارد کردن پارامترهای ماده‌سنگ، هندسه برش و دیسک از سوی دیگر تخمین زده می‌شود. این مدل‌ها مستقل از شرایط ماشین برای هر پروژه جدیدی قابل استفاده است اما به خاطر مقیاس آزمایشگاهی

* زنجان - بلوار دانشگاه - دانشگاه زنجان، دانشکده فنی، گروه مهندسی معدن، کد پستی ۴۵۳۷۱-۳۸۷۹۱، تلفن همراه: ۰۹۱۷۳۸۷۷۵۳۰، رایانامه: RezaM808M@yahoo.co.uk

بودن، ناپیوستگی‌های توده‌سنگ را در نظر نمی‌گیرد. تمرکز پژوهش از فروروی (Indentation) یک گوه در سنگ برای برآورد شکنندگی سنگ تا برآورد نیروهای برش در فرآیند برش سنگ با خصوصیات مشخص مکانیکی بوده است. مثال خوبی از فرآیند فروروی گوه در سنگ به تلاش محققان پیشین از جمله بنجاما (Benjumea) (Benjumea, 1968) برمی‌گردد کوک (Cook) نیز انجام گرفت و فرآیند فروروی، گسترش ناحیه خردشده و شروع و گسترش ترک‌های شعاعی اطراف (Cook, Hood, & Tsai) ناحیه خردشده بررسی شد (Cook, Hood, & Tsai, 1989). همچنین، (Pang, Goldsmith, & Hood, 1989) مطالعات برش سنگ با برش‌دهنده دیسکی به سیله آزمایش-های تمام مقیاس در آزمایشگاه انجام گرفت. در یکی از این مطالعه‌ها، او زدمیر (Ozdemir) و همکارانش به ارائه روابط نظری برای پیش‌بینی نیروی وارد بر دیسک در حین برش سنگ پرداختند که در آن اثر فاصله‌داری در نظر گرفته نشده بود، اما در عوض هندسه برش به همراه مقاومت فشاری تک-محوری و مقاومت کششی ماده‌سنگ لحاظ شده بود (Roxborough, 1977). راکس‌بورو (Roxborough) و فیلیپس (Philips)، روابطی را برای نیروهای برش وارد بر یک دیسک مقطع V-شکل ارائه کردند که پارامترهایی نظیر مقاومت فشاری تکمحوری، قطر دیسک و زاویه لبه دیسک را در نظر می‌گرفت (Roxborough & Phillips, 1975). سانیو (Sanio) نیز مدلی برای برآورد نیروهای وارد بر برش‌دهنده دیسکی با در نظر گرفتن چقرمگی شکست و وجود درزه در توده سنگ، ارائه کرد (Sanio, 1985). ساتو (Sato) و همکارانش، پژوهش سانیو را برای یک ماشین حفار چرخشی ادامه دادند و روابط جدیدی برای برآورد نیروی برش ارائه کردند. رستمی (Rostami) در سال‌های ۱۹۹۳ و ۱۹۹۷ روابطی را برای برآورد نیروهای وارد بر دیسک‌های مقطع ثابت (CCS) ارائه کرد. رابطه اصلی وی برپایه توزیع فشارهای مختلف در ناحیه تماس بین دیسک و سنگ برای مقاطع مختلف برش‌دهنده است. این پژوهش با آزمون‌های آزمایشگاهی بیشتر ادامه یافت تا رابطه‌ای با تطابق دیمانسیون جهت برآورد نیروهای برش توسعه یابد (Rostami & Ozdemir, 1993). این مدل تحت عنوان مدرسه معدن کلرادو (CSM) شناخته می‌شود

مسأله توزیع فشار زیر دیسک یکی از موضوع‌های جذاب و در عین حال پیچیده و غیرخطی است. بسیاری از محققان با ساده‌سازی و معادل‌سازی این تنش به عنوان مثال با مقاومت فشاری سنگ به تخمین نیروهای برش از حاصلضرب فشار در سطح تماس دیسک-سنگ پرداختند. در مطالعه انجام شده از سوی رستمی (Rostami, 1997) برای اولین بار به بررسی نظری توزیع فشار در این ناحیه در آزمون‌های آزمایشگاهی برش سنگ پرداخته شده است. پس از آن و تاکنون در هیچ مطالعه‌ای به این موضوع پرداخته نشده است. از این‌رو، در موضوع اندرکنش تیغه-سنگ و نیز رفتار ناحیه زیر دیسک هنوز هم سوال‌های بی‌پاسخ زیادی وجود دارد. با توجه به پیچیدگی‌های مساله و عدم امکان بررسی تمامی مجھول‌ها و نیز پدیده‌شناسی مسأله در روش‌های آزمایشگاهی، هزینه‌های بالای انجام و نیز در دسترس نبودن تجهیزات آزمایشگاهی این آزمون، شبیه‌سازی عددی فرآیند برش سنگ شرایط مناسبی برای شناخت مسأله و بررسی پارامترهای تأثیرگذار فراهم می‌سازد. در این مطالعه با شبیه‌سازی عددی آزمون برش خطی، برای اولین بار به بررسی توزیع فشار در ناحیه تماس دیسک و سنگ و تأثیر پارامترهای مختلف هندسه تیغه بر آن پرداخته می‌شود.

۲- توزیع فشار ناحیه تماس دیسک و سنگ

فرآیند نفوذ یک ابزار برش به درون سنگ با شروع حبابی از فشار بلا فاصله در زیر ابزار شروع می‌شود. این ناحیه نیروهای برش را به سنگ هدایت می‌کند و

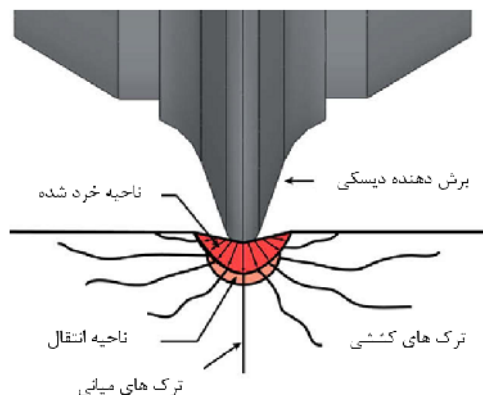
محققان بر این باور بودند که توزیع فشار در ناحیه تماس سنگ و دیسک به صورت یکنواخت است و از نقطه شروع تا پایان لبه در تماس با سنگ این مقدار به صورت خطی تغییر می‌کند (شکل ۲-الف). اما در سال ۱۹۹۷، رستمی با کالیبراسیون دقیق دیسک در آزمایش‌های برش خطی متعدد، این فرضیه را رد کرد و توزیع فشار در ناحیه تماس را معادل با نمودار زنگوله‌ای شکلی ارائه داد به قسمی که ابتدا و انتهای لبه در تماس قرار گرفته بارگذاری وجود ندارد (Rostami, 1997). در این ناحیه، فشار تماسی از صفر شروع می‌شود و در قسمتی در مجاورت مرکز تماس به نهایت مقدار خود در زیر لبه دیسک می‌رسد. بنابراین، توزیع فشار وارد بر برش دهنده دیسکی به صورت همه‌جانبه نخواهد بود، بلکه در عوض، به دلیل فرآیند تشكیل تراشه در جلو و عقب ناحیه تماس برش دهنده دیسکی حین برش خطی، مناطق فاقد بارگذاری در این نواحی تشكیل می‌شود. رستمی با ابزاربندی دیسک و قرار دادن کرنش‌سنچ‌هایی در ناحیه لبه دیسک در حین انجام آزمایش برش خطی دریافت که تنش تنها بر ناحیه محدودی از برش دهنده دیسکی اعمال می‌شود (شکل ۲-ب).

مقدار میانگین این توزیع در حالت برش هم‌جوار (relieved) طبق رابطه تجربی شماره ۱ محاسبه می‌شود:

$$P_r = C \cdot \sqrt[3]{\frac{\sigma_c^2 \sigma_t S}{\varphi \sqrt{RT}}} \quad (1)$$

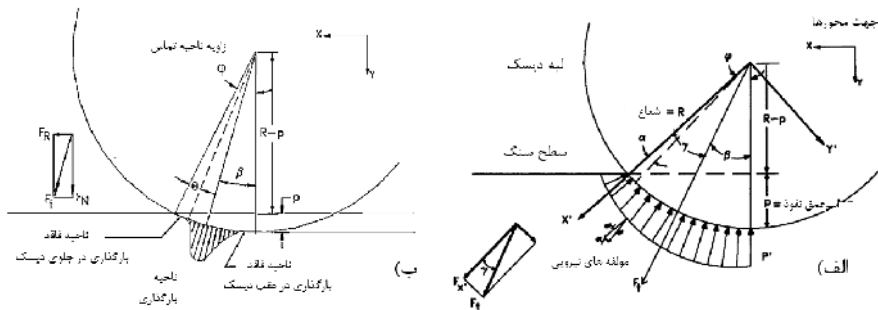
در رابطه فوق، σ_c و σ_t به ترتیب مقاومت فشاری تک محوری و مقاومت کششی ماده سنگ بر حسب مگاپاسگال است. T و R به ترتیب ضخامت و شعاع دیسک بر حسب میلی‌متر است. φ زاویه تماس بین سنگ و دیسک است که از ضابطه $\varphi = \theta$ ثابتی معادل $2/12$ در نظر گرفته می‌شود (Rostami, 2013).

نهایتاً پودر نرمی در مجاورت ابزار برش تشكیل می‌شود که به سرعت به دانه‌های درشت تبدیل می‌شوند و ناحیه خردشده‌ای اطراف ابزار تشكیل داده و نهایتاً به کل بدنه سنگ انتقال می‌یابد (شکل ۱). مطالعه ناحیه توزیع فشار بسیار مهم است چراکه ذرات تشكیل شده در فرآیند برش سنگ مقدمه‌ای بر تشكیل ناحیه خردشده است. بنابراین، در ناحیه تماس کوچک‌تر، نرم‌های بیشتری تشكیل می‌شود. بدیهی است که تشكیل ذرات کوچک‌تر، انرژی بیشتری را صرف می‌کند، از این‌رو، کاهش حجم ناحیه خردشده از دید بازدهی برش ترجیح داده می‌شود. علاوه بر این، ناحیه شکست و توزیع فشار در مجاورت ناحیه خردشده، اندازه و جهت نیروهای برش را مشخص می‌کند. محدوده این ناحیه تابعی از هندسه نوک دیسک و خصوصیات سنگ است. کاهش اندازه این ناحیه به چندین علت کاهش نرم‌های تولیدشده، افزایش بازدهی برش و کاهش انرژی ویژه برش (ذرات ریز انرژی بیشتری را صرف می‌کنند)، ترجیح داده می‌شود (Rostami, 2013).



شکل ۱ - نمایشی از ناحیه تماس بین برش دهنده دیسکی و سنگ در فرآیند برش سنگ (Cho, Jeon, Yu & Chang, 2010)

توابع زیادی برای نمایش توزیع تنش در ناحیه تماس لحاظ می‌شوند. تا قبل از سال ۱۹۹۳ میلادی



شکل ۲- توزیع فشار ناحیه تماس بین برش دهنده دیسکی و سنگ؛ (الف) توزیع یکنواخت فشار (ب) توزیع زنگوله‌ای شکل فشار و مناطق فاقد بارگذاری (Rostami, 1997)

جدول ۱- مشخصات مکانیکی سنگ آهک ایندیانا
(Mattar, 2009) (Schmidt, 1976)

مقدار	مشخصات
۳۲.۵	مدول الاستیسته (GPa)
۰.۱۴	ضریب پواسون
۷۰	مقاومت فشاری تک محوری (Mpa)
۴.۹	مقاومت کششی (Mpa)
۲۳۰۰	دانسیته (kg/m^3)
۰.۸۵	چقرومگی شکست ($Mpa.m^{0.5}$)
۵۰.۸۰	زاویه اصطکاک داخلی (درجه)
۵۰.۸۰	زاویه اتساع (درجه)
۱	نسبت تنش جربان

جدول ۲- پارامترهای ورودی به نرمافزار ABAQUS برای مدل سنگ به ابعاد ساخته شده $50 \times 200 \times 200$ را در مدل سازی عددی نشان می‌دهد.تابع تسلیم دراکر-پراگر برای شبیه‌سازی رفتار الاستوپلاستیک سنگ بکار برده شده است. برای شبیه‌سازی اثر ضربه دیسک به سنگ حین برش، از معادله حالت خطی استفاده شده است. شبیه‌سازی جرم برش خورده از سنگ به واسطه حذف المان از مدل سنگ در شبیه‌سازی انجام خواهد شد و با قرار دادن گزینه حذف المان (Element deletion) در نرمافزار بصورت Yes، از صحت نتیجه آن اطمینان حاصل خواهد شد. برای شبیه‌سازی شروع آسیب، معیار آسیب شکل‌پذیر (ductile damage) در نرمافزار بکار برده شد و برای پیاده‌سازی گسترش آسیب (Damage Evaluation)، مقدار انرژی شکست در گزینه‌های این معیار وارد شد. مدل دیسک مشابه کار

۳- مدل سازی عددی فرآیند برش خطی سنگ

برای مدل سازی عددی آزمون برش خطی و بررسی رفتار ناحیه تماس و نیز به منظور راستی آزمایی نتایج، از شرایط آزمایشگاهی در تحقیق رس تی (Rostami, 1997) استفاده شده است. در این آزمایش، تحلیل تنش‌ها در یک مکان معلوم در لبه دیسک که باعث توسعه تغییرات کرنش خواهد شد، انجام می‌شود. برای شبیه‌سازی مکانیزم شکست در آزمایش برش خطی، از کد سه‌بعدی ABAQUS/CAE استفاده شده است. این کد، برپایه المان محدود بوده و قادر به شبیه‌سازی دینامیکی و غیرخطی شکست است.

۳-۱- مدل سنگ

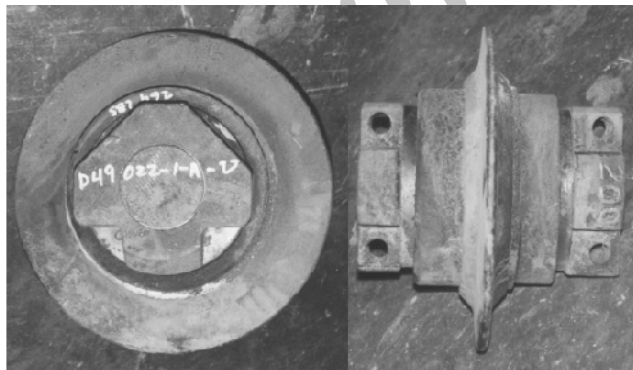
سه نوع سنگ آهک ایندیانا (Indiana Limestone)، گرانیت قرمز کلرادو (Colorado red granite)، و بازالت آمیستلا (Umittela Basalt) برای انجام آزمایش برش سنگ و مطالعه توزیع فشار در ناحیه تماس توسط رس تی (1997) درنظر گرفته شده است و با توجه به اندازه‌گیری اکثر پارامترهای مقاومتی سنگ آهک ایندیانا توسط محققان پیشین (Mattar, 1976) و دسترسی بهتر به اطلاعات آن‌ها، این سنگ در این مطالعه برای مدل‌سازی عددی ناحیه تماس اختخاب شده است. مشخصات مقاومتی سنگ آهک ایندیانا در جدول ۱ آورده شده است.

استفاده شده است که به صورت *C3D8R* در *ABAQUS* است. *B-49225* در *ABAQUS* با هشت نود محدود می‌شود. خصوصیات مقاومتی دیسک با فولاد نوع *AISI-4340* تنظیم شده است به قسمی که توابع شکست برای در نظر گرفتن سایش برش دهنده دیسکی لحاظ نشده است (جدول ۳).

آزمایشگاهی رستمی، تیغه نوع *B-49225* ساخت شرکت رابینز (*Robbins*)، در مدل سازی دیسک در نظر گرفته شده است (شکل ۳). قطر این دیسک ۴۳۲ میلی‌متر، ضخامت لبه رینگ آن حدوداً ۱۱.۵ میلی‌متر (۰.۴۵ اینچ) و زاویه لبه آن ۵ درجه است. برای تولید المان‌های دیسک، از المان‌های

جدول ۲ - مقادیر ورودی به نرم افرا

مقدار ورودی	پارامتر	مدل	گروه
		خطی	معادله حالت
$B = \frac{E}{3(1 - 2\nu)}$	مدول حجمی		
<i>Associative</i>	قانون جریان		مقاومت
$\psi = \beta$	زاویه اتساع	دراکر-برابر	
$\varepsilon = \frac{\sigma_t}{E}$	کرنش تسلیم	شروع آسیب	
$G_f = \frac{k_l^2}{E}$	انرژی شکست	گسترش آسیب	شکست
Yes	حذف المان	سایش	



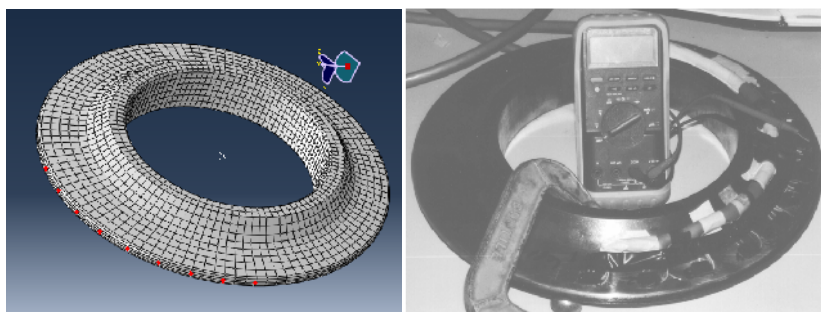
شکل ۳ - نمایشی از برش دهنده دیسکی ۱۷ اینچ نوع ۴۹۲۲۵ انتخابی از شرکت رابینز

ستجهایی در دیسک و تا اندازه ممکن نزدیک به لبه برنده، تغییرات تنفس در دیسک به هنگام تماس با سنگ در حین برش اندازه‌گیری شد. نمایشی از دیسک ابزاربندی شده پس از کالیبره کردن، در شکل ۴ آورده است. برای شبیه‌سازی کرنش سنج‌های اطراف دیسک در مدل عددی، از نودهایی که دقیقاً در لبه دیسک و برای برآورد تنفس در آن‌ها در نظر گرفته شده‌اند استفاده شده است.

جدول ۳ - مشخصات فولاد AISI-4340

مشخصات	مقدار
مدول الاستیستیته (GPa)	۲۰۰
ضریب پواسون	۰.۲۹
دانسیته (kg/m³)	۷۷۸۰

برای اندازه‌گیری توزیع فشار در ناحیه تماس، دیسک مورد آزمایش ابزاربندی شده است. با قرار دادن کرنش

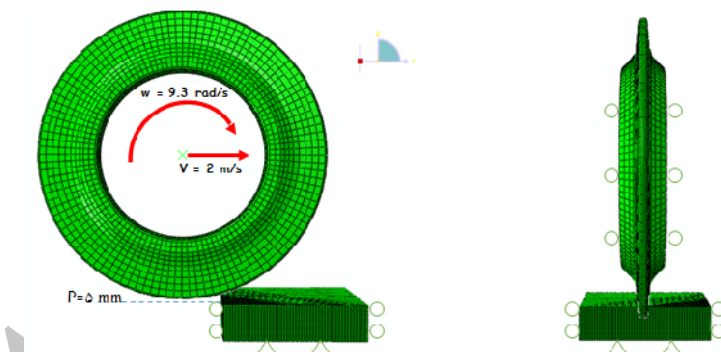


شکل ۴-الف) نصب کرنش سنج های اندازه گیری بر سطح دیسک در آزمایشگاه (Rostami, 1997). ب) نودهای در نظر گرفته شده شبیه سازی کرنش سنج های آزمایشگاهی در مدل عددی

برش دهنده دیسکی به صورت افقی با سرعت خطی ۲ متر بر ثانیه محدود شد تا نمایانگر برش خطی باشد. هم زمان با آن، سرعت زاویه ای مشخص ۹/۳ رادیان بر ثانیه برای لبه بیرونی دیسک قرار داده شد (Cho, Jeon, Yu, & Chang, 2010). عمق نفوذ دیسک در سنگ برابر با ۵ میلی متر همانند آزمایش قرار داده شد (Rostami, 1997).

۲-۳- شرایط مرزی مدل

برای حصول اطمینان از ایجاد شرایط برابر در آزمون آزمایشگاهی و مدل سازی عددی، شرایط مرزی متعددی به برش دهنده دیسکی و مدل سنگ اعمال شد. همان طور که در شکل ۵ نشان داده شده است، برای سنگ حرکت تمامی مرزها به غیر از سطح فوقانی آن، در مدل محدود شده است. حرکت



شکل ۵- نمایش شرایط مرزی اعمال شده در مدل برش خطی

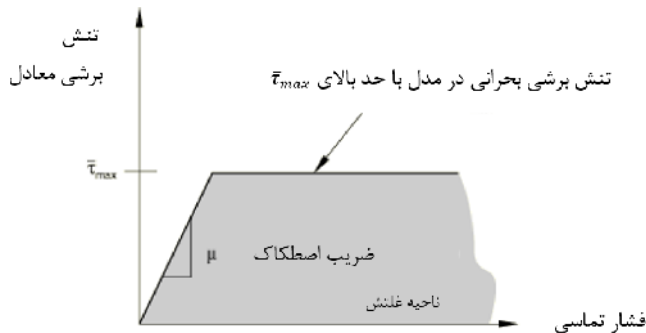
حرکت تحمل می کنند. در مدل کولمب، فشار تماس با مقدار تنش برشی بحرانی پیش از حرکت τ_{crit} با رابطه ۲ تعریف می شود (شکل ۶):

$$\tau_{crit} = \mu p \quad (2)$$

که در آن μ ضریب اصطکاک بین دو سطح خواهد بود. در این مدل، ضریب اصطکاک بین دیسک و سنگ 0.5° در نظر گرفته شده است که حالت غلتیش بین دو جسم برقرار شود (Zhang & Xiao, 2016).

۳-۳- مدل سازی تماس سنگ و برش دهنده

چون مدل از دو جزء متفاوت دیسک و سنگ ساخته شده است، لازم است که تماس میان آن ها تعریف شود. تماس عمومی (General contact) معرفی شده در ABAQUS می تواند در مدل سازی اندرکنش برش دهنده و سنگ راه گشا باشد. ABAQUS از مدل ساده موهر-کولمب جهت ارتباط فشار (ناشی از نیروی فنر فرضی) به وجود آمده بین دو سطح با تنش برشی در سطح، استفاده می کند. در واقع در حرکت دو جسم بر یکدیگر، مقدار مشخصی تنش برشی را پیش از شروع



شکل ۶ - ناحیه لغزش برای مدل تماس موهر-کولمب بر پایه تنش برشی بحرانی (ABAQUS Documentation, 2011)

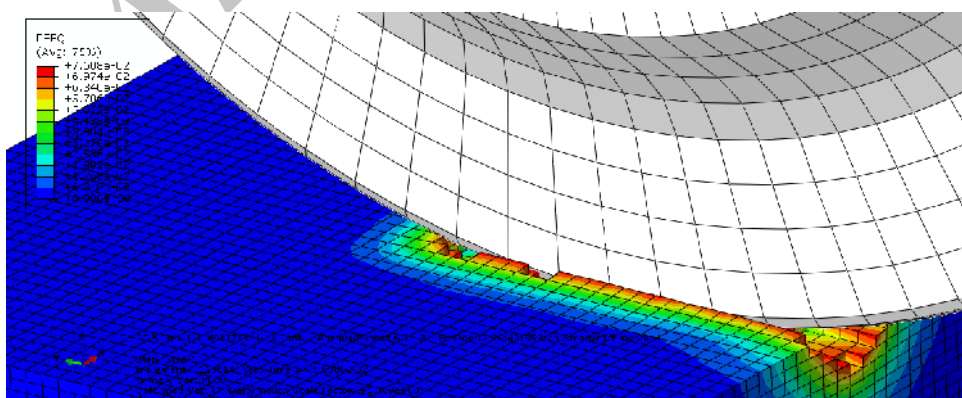
به واسطه بلبرینگ‌ها، عواملی مثل حرکت‌های جانبی و عمودی برش دهنده، ممکن است لرزه‌هایی در برش دهنده حین برش در آزمون برش خطی به وجود آورد و نتایج آن را تغییر دهد. اما چنین تأثیرهایی در مدل‌سازی حذف خواهد شد، چراکه حرکت‌های جانبی و عمودی برش دهنده با اعمال شرایط مرزی به مدل کاملاً حذف خواهد شد و در حرکت برش دهنده اثر نخواهد کرد. بنابراین، شبیه‌سازی عددی تأثیرات منفی از جمله خردشدنگی سنگ در اثر انتشار انرژی کرنشی ایجاد شده در قالب یا لرزه‌های دیسک حین برش سنگ را از نتایج حذف می‌کند (Balci & Bilgin, 2007). درنتیجه، سنگ برش خورده در مدل‌سازی عددی عرض و عمق تقریباً یکسان و منظمی را به خود می‌گیرد و زیری سطح برش خورده بهندتر در سطح مدل بعد از شبیه‌سازی نمایان می‌شود (شکل ۷).

۳-۴- انتخاب روش حل مدل

برای مدل‌های دینامیکی، روش حل صریح (Explicit Solving) بسیار ارجحیت دارد؛ چراکه نتایج حاصل در این آنالیز به صورت خودکار برای دقت آن‌ها کنترل نمی‌شود (برخلاف روش استاندارد). در مدل‌های استاتیکی که تعداد پیشرو زمانی (increment) بسیار اندک است دقت بیشتری در حل مدل اعمال می‌شود. بنابراین هنگامی که تعداد پیشرو زمانی در مدل‌های دینامیکی افزایش می‌یابد، حل صریح بر استاندارد ارجحیت خواهد یافت اما دقت حل کاهش می‌یابد، برای حل مدل که از دسته مدل‌های ماشین‌کاری و دینامیکی محسوب می‌شود از روش حل صریح استفاده شده است.

۴- تحلیل نتایج

به دلیل سختی قالب دستگاه و محدودشدنگی برش دهنده



شکل ۷ - نمایی از مدل حل شده برش سنگ توسط برش دهنده دیسکی

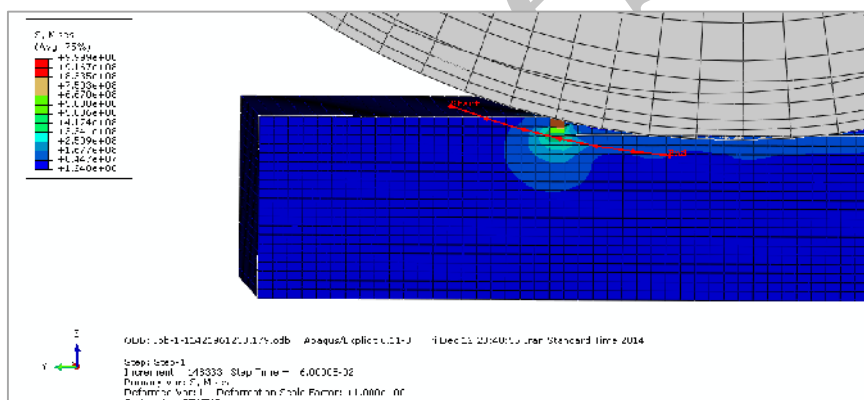
دیسک ایجاد می‌شود، اشاره می‌کند.

جهت برآورد میانگین توزیع فشار ناحیه تماس، مسیری کاملاً منطبق با لبه دیسک و در ۳ میلی‌متری زیر آن ایجاد شد (شکل ۸) و با گرفتن خروجی مقادیر تنش در این مسیر در مازول نتایج ABAQUS/CAE، نمودار حاصل از آن برحسب فاصله از ابتدا تا انتهای مسیر ترسیم شد.

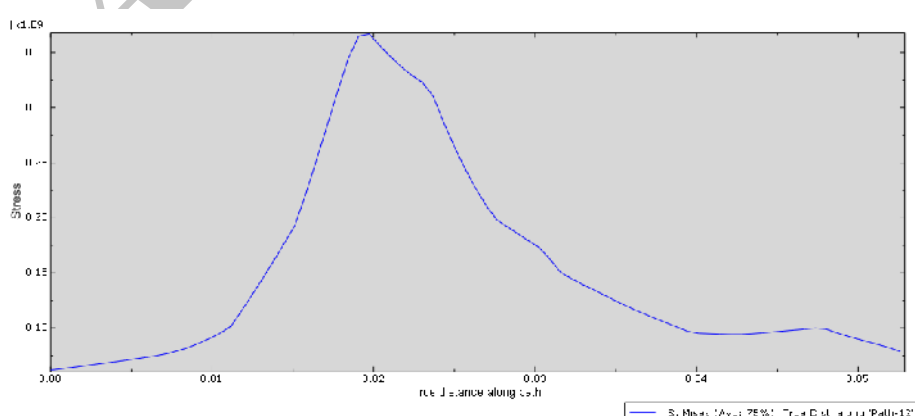
همان‌طور که در شکل ۹ مشاهده می‌شود، توزیع فشار زیر دیسک از اول مسیر به مقدار نزدیک صفر بوده و با پیشروع در راستای آن، مقادیر تنش بیشتر می‌شود و در ۳۵۰ میلی‌متر از ابتدای مگاپاسگال مقدار حداقل خود را در ۳۰ میلی‌متر از ابتدای مسیر حاصل می‌کند. با ادامه این مسیر فشار افت می‌کند و رفته‌رفته به مقدار ثابتی می‌رسد. این مقدار نشان‌دهنده تنش‌های پسماند موجود در المان بعد از غلتی دیسک روی سنگ است که رستمی (Rostami, 2013) به آن اشاره‌ای نکرده است.

۱-۴- توزیع فشار در ناحیه تماس

با ایجاد مقطعی در گام زمانی ۰,۰۶ مدل حل شده، دقیقاً در مرکز ناحیه اندرکنشی دیسک و سنگ، توزیع فشار آشکارشده است و در شکل ۸ نمایش داده شده است. همچنین حالت توزیع فشار و نواحی فاقد بارگذاری در مدل سازی عددی مشابه با شکل ۲ - ب حاصل شده است. مشخص است که ناحیه سبز کمرنگی اطراف محیط سبزرنگ در زون بندی تنش توسط ABAQUS وجود دارد. چنین ناحیه‌ای به تنش پسماند المان‌هایی اشاره می‌کند که هنوز به آستانه انرژی شکست نرسیده‌اند. همچنین در ناحیه تماس، گستره بسیار ناچیزی با رنگ زرد متمایل به نارنجی در هر سه‌گام زمانی بررسی شده دیده می‌شود که مقادیر تنش بسیار بالایی (بالاتر از ۹۰۰ مگاپاسگال) را نشان می‌دهد. این ناحیه به تصریح کردن تنش بسیار زیادی که در ناحیه تماس دیسک و سنگ و در نوک لبه



شکل ۸ - نمایش مسیر ایجاد شده در مدل حل شده جهت بررسی پروفایل توزیع فشار



شکل ۹ - مقادیر تنش موجود در المان‌ها در راستای مسیر ایجاد شده در مدل حل شده

زمانی بصورت نموداری در شکل ۱۱ ترسیم شده است.

از مقایسه تغییرات فشار بر حسب زمان حاصل از حل مدل عددی و رابطه نیمه نظری رستمی در نمودار شکل ۱۱ در سه گام زمانی مذکور نتیجه گرفته می‌شود که مطابقت بسیار خوبی میان نتایج حاصل از مدل عددی و رابطه نیمه تجربی رستمی وجود دارد.

نتیجه گرفته شده از مقطع جناحی مدل، یکی از مهم‌ترین نتایج این آنالیز بشمار می‌رود و از اساسی‌ترین عوامل تأثیرگذار در برش سنگ و تشکیل تراشه است. چون تشکیل تراشه مهم‌ترین عامل در کاهش انرژی ویژه در یک نیروی ثابت غلتشی برش‌دهنده است، بررسی این ناحیه و عوامل تأثیرگذار برآن می‌تواند از فرآیند برش سنگ و نحوه تشکیل تراشه، دید بهتری دهد.

۵- بررسی عوامل مؤثر در توزیع فشار ناحیه تماس

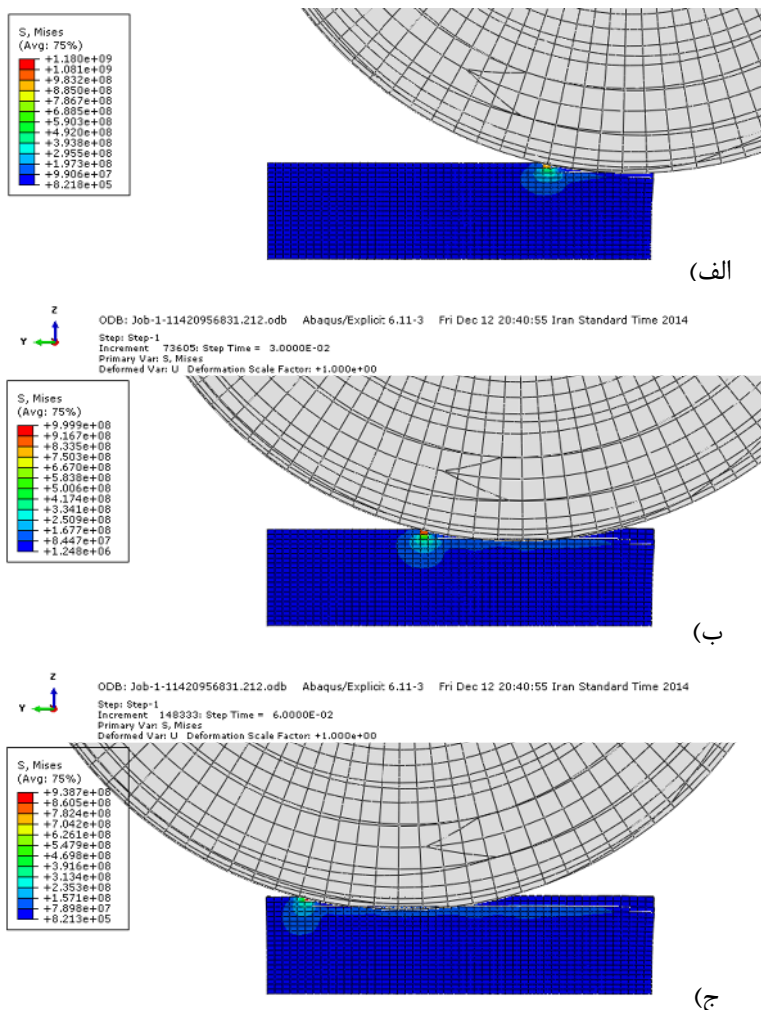
۱-۵- ضخامت لبه

با توجه به نتایج حاصل از حل مدل عددی می‌توان انتخاب بهترین پروفایل برای برش‌دهنده دیسکی را با توجه به توزیع فشار ناحیه تماس دیسک و سنگ انجام داد. شکل ۱۲ مقطعی جناحی از توزیع فشار ناحیه تماس برای دیسک‌های با ضخامت لبه ۷/۶ و ۱۵/۲۱ میلی متر در گام زمانی تقریباً برابر، نمایش می‌دهد. همان‌طور که از شکل نیز برمی‌آید، تمرکز تنش ایجاد شده از دیسک با ضخامت لبه ۷/۶ میلی متر بسیار بیشتر از تمرکز تنش دیسک با ضخامت لبه ۱۵/۲۱ میلی متر است. این موضوع نشان می‌دهد که ضخامت لبه کمتر باعث تمرکز تنش بیشتر زیر دیسک در ناحیه تماس (۱۱۲۴ در مقابل ۴۰۹ مگاپاسکال) می‌شود. ارتباط معکوس فشار ناحیه تماس با ضخامت لبه دیسک در نتایج رستمی (رابطه شماره ۱) نیز دیده می‌شود.

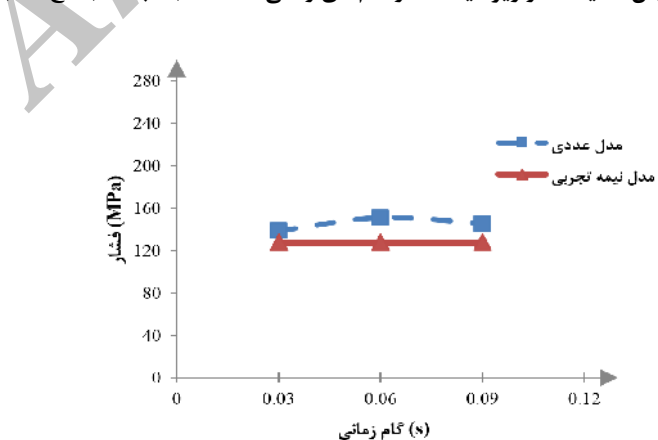
برای محاسبه تحلیلی فشار زیر دیسک از رابطه (۱) استفاده شده است که استفاده از آن در محاسبه فشار در حالت برش هم‌جوار توصیه شده است (Rostami, 2013). چون مدل‌سازی برای برش منفرد (*unrelieved*) انجام شده است، لازم است که اثر متقابل دو دیسک در این رابطه حذف شود. بنابراین نظر بالجی و توماج (۲۰۱۵)، با در نظر گرفتن نسبت فاصله‌داری به عمق نفوذ نزدیک به عدد ۲۰، اثر متقابل دو دیسک حذف شده و رابطه معادل با حالتی است که برش منفرد انجام گرفته است (Balci & Tumac, 2015). بنابراین در رابطه مذکور با جایگذاری فاصله‌داری ۱۰۰ میلی‌متر برای عمق نفوذ ۵ میلی‌متر، فشار معادل در برش منفرد نتیجه می‌شود. همچنین با جایگذاری مقادیر σ_c و σ_t مطابق با جدول ۱ و مقادیر T و R مطابق با مقادیر ذکر شده در بخش ۲ در رابطه (۱) میانگین فشار ناحیه تماس محاسبه می‌شود. زاویه φ نیز طبق معادله ذکر شده بر حسب رادیان محاسبه شده است و پارامتر C ثابتی معادل ۲/۱۲، در نظر گرفته می‌شود. بنابراین مقدار عددی فشار در ناحیه تماس ۱۲۷ مگاپاسکال برآورد می‌شود.

مقدار میانگین مقادیر پروفایل ایجاد شده ۱۵۱ مگاپاسکال محاسبه شد و در مقایسه با مقدار میانگین فشار از رابطه رستمی (۱۲۷ مگاپاسکال)، نتیجه قابل قبولی کسب شده است. با توجه به غلتش دیسک در طول سنگ لازم است که حداقل در دو گام زمانی دیگر توزیع تنش ناحیه تماس با سنگ بررسی شود. همان‌طور که در شکل ۱۰ مشاهده می‌شود در سه گام زمانی ۰/۰۳، ۰/۰۶ و ۰/۰۹ توزیع تنش بخوبی قابل مشاهده است و با ایجاد مسیری همانند مسیر ایجاد شده در شکل ۸، پروفایل فشار ترسیم و میانگین آن برآورد شده است. مقادیر میانگین فشار محاسبه شده بر حسب گام

بررسی عددی عوامل مؤثر بر توزیع فشار در ناحیه تماس دیسک و سنگ در فرآیند برش خطی سنگ: ص ۴۲-۲۷

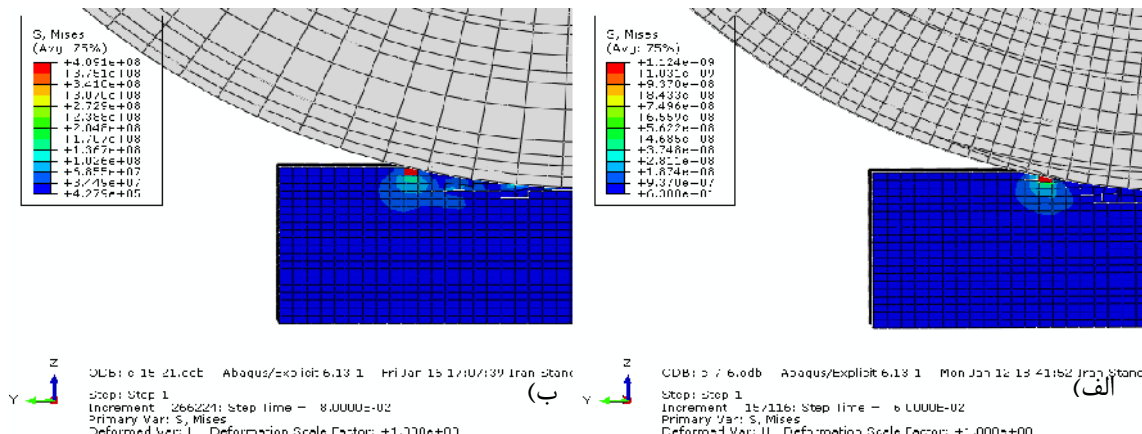


شکل ۱۰- نمایش ناحیه فشار زیر دیسک در گام‌های زمانی: (الف)، (ب)، (ج).



شکل ۱۱- نمودار تغییرات فشار بر حسب زمان در مدل حل شده برش سنگ

نمایش می‌دهد. همان‌طور که از شکل نیز برمی‌آید، تمرکز تنش ایجادشده از دیسک با ضخامت لبه ۷/۶ میلی‌متر بسیار بیشتر از تمرکز تنش دیسک با ضخامت لبه ۱۵/۲۱ میلی‌متر است. این موضوع نشان می‌دهد که ضخامت لبه کمتر باعث تمرکز تنش بیشتر زیر دیسک در ناحیه تماس (۱۱۴۴ در مقابله ۴۰۹ مگاپاسکال) می‌شود. ارتباط معکوس فشار ناحیه تماس با ضخامت لبه دیسک در نتایج رستمی (رابطه شماره ۱) نیز دیده می‌شود.



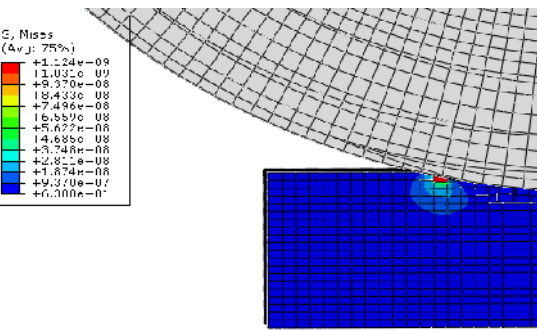
شکل ۱۲- مقطع طولی و نمایش کنتوری محدوده تنش برای برش دهنده‌های قطر ۱۷ اینچ، زاویه لبه ۵ درجه، عمق نفوذ ۵ میلی- متر و اندازه متفاوت ضخامت لبه: (الف) ۱۵/۲۱ میلی‌متر (ب) ۷/۶ میلی‌متر

نخواهد بود؛ چراکه اساس حل در این حلگر بر مبنای انتشار موج تنش در محیط است و از دقت پایین تری نسبت به حلگر استاندارد ABAQUS بروخوردار است. همچنین شعاع تأثیر تنش زیر دیسک با لبه ضخیم‌تر بیشتر است که می‌تواند در تشکیل ریزترک‌ها و گسترش توک‌ها نقش بسیار مهمی را ایفا کند. بنابراین اگر در فاصله‌ای یکسان از هر دو دیسک با ضخامت‌های لبه متفاوت، دیسک دومی عبور کند در صورت برهمنی دو محدوده تنش ایجاد شده در زیر دو دیسک، و رسیدن مقدار تنش به شرایط شکست سنگ، امکان تشکیل تراشه در مجاورت دیسک با لبه ضخیم‌تر بیشتر است. از این رو، لبه ضخیم‌تر دیسک، امکان تشکیل ریزترک‌ها و شکل‌گیری تراشه در برش هم‌جوار را فراهم می‌کند. این موضوع در انتخاب آرایش و فاصله‌داری دیسک‌ها به هنگام طراحی کله‌حفار بایستی در نظر گرفته شود. همچنین برش دهنده‌های با لبه ضخیم‌تر، دوام و نرخ سایش مقاومتی نسبت

۶- بررسی عوامل مؤثر در توزیع فشار ناحیه تماس

۶-۱- ضخامت لبه

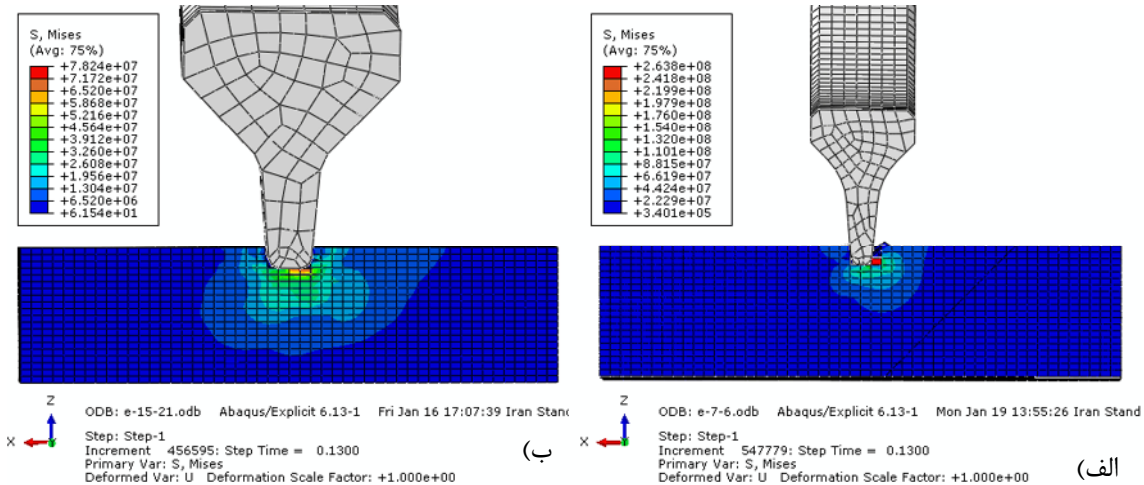
با توجه به نتایج حاصل از حل مدل عددی می‌توان انتخاب بهترین پروفایل برای برش دهنده دیسکی را با توجه به توزیع فشار ناحیه تماس دیسک و سنگ انجام داد. شکل ۱۲ مقطعی جناحی از توزیع فشار ناحیه تماس برای دیسک‌های با ضخامت لبه ۷/۶ و ۱۵/۲۱ میلی‌متر در گام زمانی تقریباً برابر،



هرچند که توزیع فشار از نمای مقطع جناحی مدل چندان متفاوت به نظر نمی‌رسد اما با ایجاد مقطعی عمود بر مقطع فوق در مدل، نحوه توزیع تنش را می‌توان بهتر مشاهده کرد. با توجه به شکل ۹ که مقطعی از جلوی برش دهنده را در هر دو ضخامت ۷/۶ و ۱۵/۲۱ میلی‌متر در گام زمانی ۰/۱۳ نمایش می‌دهد، با وجود تمرکز تنش کمتر در زیر دیسک با لبه ضخیم‌تر نسبت به دیسک با لبه برنده‌تر ۷/۶ در مقابله ۲۶/۸ مگاپاسکال، آشفتگی ناحیه تنش و انتشار آن در محیط سنگی بسیار بیشتر از دیسک با ضخامت لبه کمتر است. با کمی دقت در توزیع تنش شکل ۱۳، عدم تقارنی در این نواحی دیده می‌شود. علت این موضوع را می‌توان به نحوه تماس لبه دیسک با سطح برش خورده و نامنظم سنگ و تا حدی رهاسدگی نامتقارن تنش به خاطر حذف المان در جهت پیش روی نسبت داد که تغییراتی را در حل می‌دهد. همچنین حلگر صریح دینامیکی استفاده شده برای حل مدل بی‌تأثیر

ممکن است در نحوه شکل‌گیری ریزترک‌ها اثرگذار باشد. چون هرچقدر اختلاف تنش و تنش‌های تفاضلی در شعاع تأثیر بیشتر شود، امکان شکل‌گیری ترک و شکستن سنگ و بازشدگی بیشتر خواهد بود.

به دیسک با لبه نازک‌تر را دارد. با دقت بیشتر در خروجی تنش‌های حاصل از حل مدل با برش‌دهنده ضخیم، مقادیر تقریباً یکسانی در تنش‌های زیر دیسک دیده می‌شود. این موضوع حاکی از آن است که تنش‌های هیدروستاتیک در زیر دیسک شکل گرفته است. شکل‌گیری چنین ناحیه‌ای از تنش



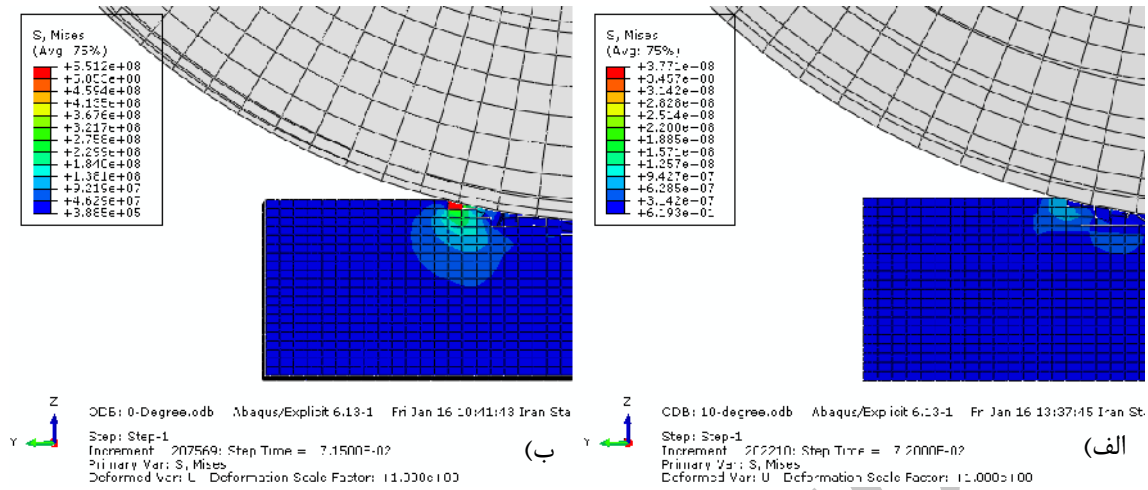
شکل ۱۳- مقطع عرضی و نمایش کنتوری محدوده تنش برای برش‌دهنده‌های قطر ۱۷ اینچ، زاویه لبه ۵ درجه، عمق نفوذ ۵ میلی‌متر و اندازه متفاوت ضخامت لبه: (الف) ۷.۶ میلی‌متر، (ب) ۱۵ میلی‌متر

کند. شکل ۱۵ مقطعی از انتهای مدل سنگ و محدوده تنش در زیر دیسک با زوایای لبه صفر و ۱۰ درجه، در گام زمانی تقریبی ۱۰۰ را نشان می‌دهد. به خوبی مشخص است که با وجود آنکه تنش مازکریم القاء شده در زیر دیسک در زاویه ۱۰ درجه کمتر اتفاق افتاده است (۷۹ در برابر ۶۷۰ مگاپاسکال) اما رشد تنش و جهت شکل‌گیری ترک و تشکیل تراشه بسیار بیشتر است.

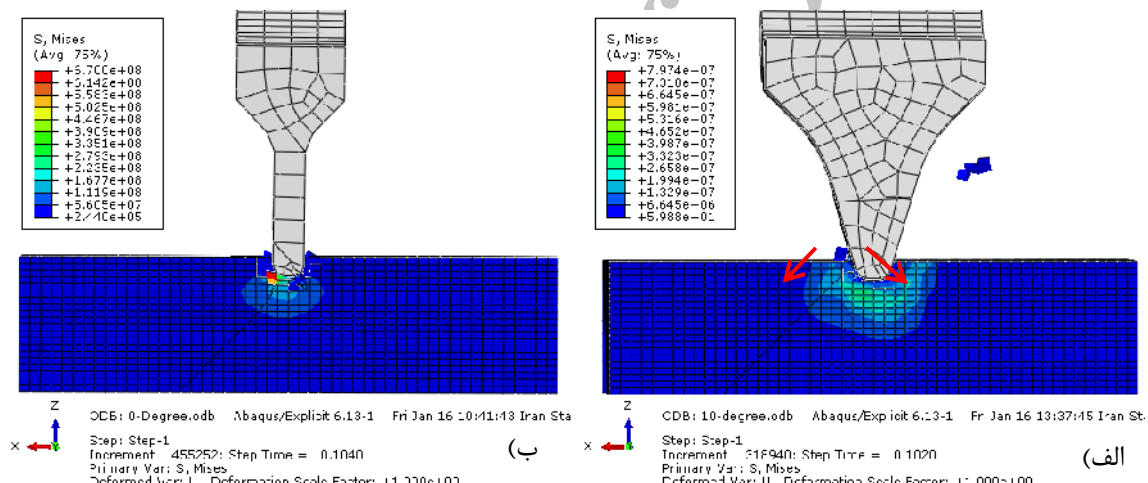
در واقع زاویه‌دار شدن لبه دیسک باعث تغییرات در تنش‌های زیر دیسک می‌شود و از تشکیل ناحیه هیدروستاتیک جلوگیری می‌کند. چنانچه در طراحی دیسک، زاویه لبه به عنوان پارامتری اساسی انتخاب شود، لازم است که دوام و سایش آن مورد بررسی قرار گیرد. از آنجایی که برش‌دهنده‌های نوع CCS برای کاهش اثر سایش حین برش سنگ طراحی شده است، بنابراین زاویه لبه از نظر سایش نسبت به ناحیه فشار، پارامتری بسیار حیاتی مدنظر قرار می‌گیرد.

۲-۶- زاویه لبه

در ضخامت‌های کمتر لبه دیسک، تمرکز تنش بیشتری در ناحیه اندرکنش دیسک و سنگ اتفاق می‌افتد. این موضوع برای زاویه لبه دیسک نیز صادق است. در شکل ۱۴-ب به خوبی مشاهده می‌شود که زاویه لبه صفر درجه، تمرکز تنش بیشتری را نسبت به زاویه لبه ۱۰ درجه ایجاد کرده است. همچنین محدوده تنش نمایش داده شده برای دیسک با زاویه لبه ۱۰ درجه، نوعی آشفتگی را نشان می‌دهد. این موضوع به ایجاد تنش‌های جانبی نسبت به تنش‌های زیر دیسک اشاره می‌کند. شاید چنین تصور شود که زاویه لبه بزرگ‌تر تمرکز تنش کمتری را زیر دیسک اعمال کند (۳۷۷ در برابر ۵۵۱ مگاپاسکال)، اما در اعمال تنش‌های جانبی و تشکیل تراشه بسیار اثرگذارتر است. همان‌طور که پیش‌تر نیز اشاره شد، نیروهای جانبی در تشکیل تراشه‌های سنگی نقش مهمی را ایفا می‌کند. از این رو ممکن است انتخاب زاویه لبه بزرگ‌تر دیسک بتواند در فرآیند خردایش، نقش بسیار مؤثرتری را ایفا



شکل ۱۴ - مقطع طولی و نمایش کنتوری محدوده تنش برای برش‌دهنده‌های قطر ۱۷ اینچ، عمق نفوذ ۵ میلی‌متر و ضخامت لبه ۱۱/۵ و زاویه لبه (الف) ۱۰ درجه (ب) صفر درجه



شکل ۱۵ - مقطع عرضی و نمایش کنتوری محدوده تنش برای برش‌دهنده‌های قطر ۱۷ اینچ، عمق نفوذ ۵ میلی‌متر و ضخامت لبه ۱۱/۵ و زاویه لبه (الف) ۱۰ درجه (ب) صفر درجه

از نمای روپروری مدل در شکل ۱۷ آورده شده است.
ناحیه کنتوری تنش به صورت تقریبی در هر دو مدل یکسان است بنابراین قطر برش‌دهنده اثری در تشکیل تراشه بیشتر و یا انرژی ویژه ندارد. اما با توجه به افزایش تنش در دیسک با قطر ۱۹ اینچ می‌توان چنین تصور کرد که افزایش قطر باعث ایجاد تنش بیشتری در سنگ می‌شود. چون با افزایش قطر دیسک وزن دیسک نیز افزایش می‌یابد، شاید بتوان چنین در نظر گرفت که وزن برش‌دهنده باعث انجام چنین تمرکز تنش بیشتری می‌شود. از طرفی با توجه به این

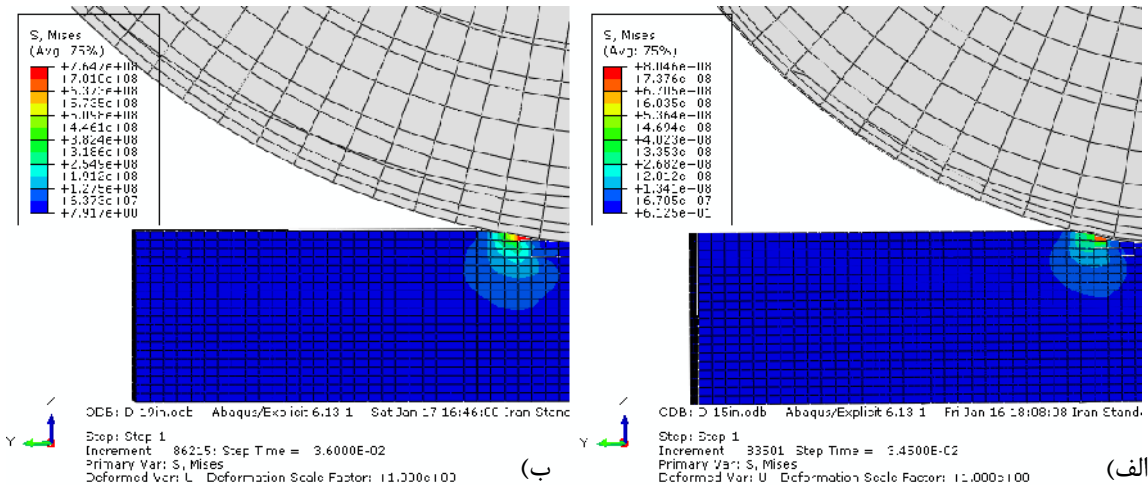
۶-۳- قطر برش‌دهنده

حائز اهمیت است که کانتور تنش در مقاطعی از مدل سنگ با برش‌دهنده‌های با قطر متفاوت نیز بررسی شود. شکل ۱۶ مقطعی از جناحین مدل حل شده در گام زمانی تقریبی ۰/۰۵۵ را نشان می‌دهد. همان‌طور که در این شکل نیز دیده می‌شود تنش ۸۰۴ مگاپاسکال با دیسک قطر ۱۹ اینچ، به سنگ اعمال شده است. این مقدار در برش‌دهنده با قطر ۱۵ اینچ به ۷۶۴ مگاپاسکال کاهش یافته است. همچنین مقطعی

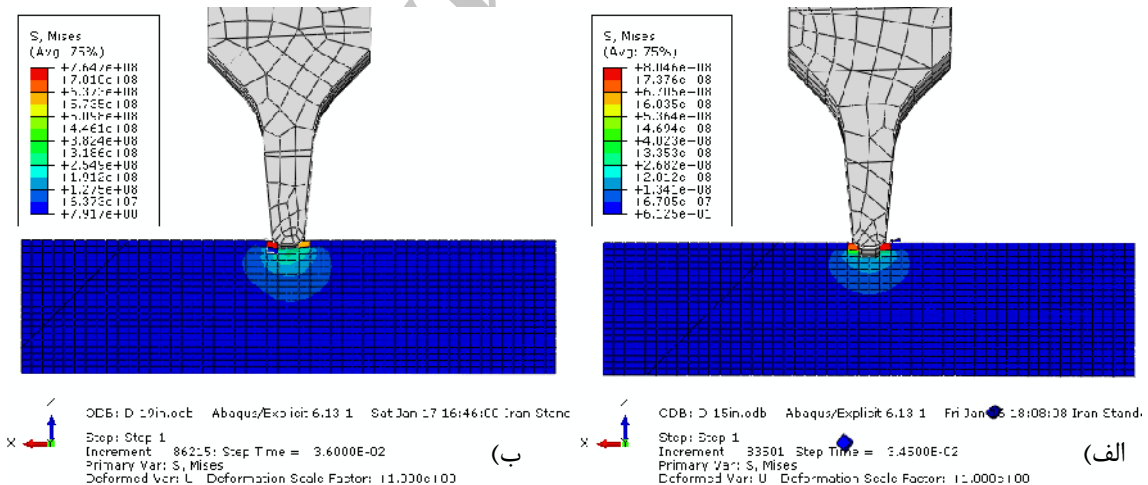
بنابراین تغییر قطر برش دهنده تأثیری در ایجاد اختلاف بین تنش‌ها و تشکیل ریزترک ندارد. هرچند که آشفتگی ناحیه برش دهنده با قطر ۱۹ اینچ گسترده‌تر به نظر می‌رسد، اما تنش‌های هیدروستاتیک شکل‌گرفته زیر لبه دیسک باعث کاهش اثر قطر دیسک در تشکیل تراشه خواهد شد.

که با افزایش قطر نیروی عمودی وارد بر دیسک افزایش می‌یابد (Rostami, 1997)، لازم است که دوام برش دهنده به دلیل افزایش قطر بررسی گردد.

بررسی مقادیر تنش‌های زیر دیسک‌های با قطر متفاوت نیز نشان می‌دهد که در هر دو حالت تغییرات تنش نسبت به هم از مقادیر کمی برخوردار است (شکل ۱۶ و شکل ۱۷).



شکل ۱۶- مقطع طولی و نمایش کنتوری محدوده تنش برای برش دهنده‌های با ضخامت لبه ۱۱/۵، عمق نفوذ ۵ میلی‌متر و زاویه لبه ۵ درجه با قطر (الف) ۱۵ اینچ، (ب) ۱۹ اینچ.



شکل ۱۷- مقطع عرضی و نمایش کنتوری محدوده تنش برای برش دهنده‌های با ضخامت لبه ۱۱/۵، عمق نفوذ ۵ میلی‌متر و زاویه لبه ۵ درجه با قطر (الف) ۱۵ اینچ، (ب) ۱۹ اینچ.

بررسی شد. نتایج تحلیل نشان داد که افزایش یا کاهش قطر اثری بر توزیع فشار ندارد همچنان که نیروی عمودی وارد بر دیسک در دیسک‌های با قطر بیشتر افزایش می‌یابد. نتایج حاصل از مدل‌سازی عددی برش سنگ و توزیع فشار در ناحیه تماس تطابق خوبی با نتایج کار آزمایشگاهی نشان داد. با وجود این، برخی از یافته‌های این تحقیق جدید بوده و مطالعات عمیق‌تری برای حصول نتایج دقیق‌تر در حال انجام است.

۸- فهرست نمادها

جدول ۴- سیاهه‌ی نمادها

نماد	واحد	شرح
σ_c	Pa	مقاومت فشاری تکمحوره
σ_t	Pa	مقاومت کششی تکمحوره
T	mm	ضخامت لبه برش دهنده دیسکی
R	mm	شعاع برش دهنده دیسکی
P	mm	عمق نفوذ لبه برش دهنده دیسکی
S	mm	فاصله‌داری بین دو دیسک در برش هم‌جوار
φ	rad	زاویه تماس بین سنگ و دیسک در ناحیه تماس آن‌ها
C	-	ثابتی معادل با مقدار ۲/۱۲

۹- قدردانی
در این تحقیق، مدل‌سازی عددی و اعتبارسنجی نتایج در حضور داده‌های آزمایشگاهی مبیس بوده است. از این‌رو، نویسنده‌گان مراتب تشکر و قدردانی خود را از دکتر جمال رستمی دانشیار مدرسه معدن کلرادو به خاطر دراختیار قرار دادن داده‌های موردنیاز اعلام می‌دارند.

۷- نتیجه‌گیری

در این تحقیق، آزمون برش خطی تمام مقیاس به روش عددی شبیه سازی شد. مدل عددی دیسک و سنگ مطابق با شرایط آزمایشگاهی در کار رستمی (۱۹۹۷ و ۲۰۱۳) ساخته و در نهایت با آن راستی آزمایی شد. توزیع فشار ناحیه تماس دیسک و سنگ همراه با مطالعه مناطق فاقد بارگذاری در مدل‌سازی عددی برسی و با روابط نیمه‌نظری رستمی (۱۹۹۷٪)، نتایج مقایسه نشان می‌دهد که رابطه خوبی میان نتایج مدل‌سازی و رابطه نیمه‌نظری برقرار است.

همچنین، پارامترهای مؤثر در انتخاب پروفایل دیسک شامل ضخامت و زاویه لبه و قطر دیسک در نظر گرفته شد. با تغییر پارامترهای مذکور در پروفایل دیسک و حل مدل، ناحیه فشار در ناحیه تماس دیسک و سنگ در یک گام زمانی مشابه در مدل‌های تغییر یافته برسی شد.

با عبور مقطعی عرضی از میان مدل حل شده برش سنگ، چنین نتیجه‌گیری شد که علیرغم تمرکز تنش بیشتر از سوی ضخامت و زاویه لبه کمتر، افزایش ضخامت و زاویه لبه شعاع تأثیر ناحیه فشار را افزایش می‌دهد و باعث شکل‌گیری ریزترک‌های بیشتری در محیط سنگی می‌شود. افزایش ضخامت به تنها ی باعث تشکیل ناحیه تنش هیدرولستاتیک در ناحیه تماس می‌شود که جهت تشکیل ریز ترک‌ها و رشد ترک مناسب نیست. با افزایش زاویه لبه زون تنش زیر دیسک آشفته تر می‌شود و تنش‌های تفاضلی بروز می‌کند. چون تنش تفاضلی عامل اصلی رشد ترک در سنگ محسوب می‌شود، هر دو عامل ضخامت و زاویه لبه بیشتر می‌باشد باهم مورد لحاظ واقع شود. بنابراین در برش هم‌جوار تراشه‌های بیشتری با مقاطع ضخیم‌تر و زاویه لبه بیشتر تشکیل خواهد شد. قطر دیسک نیز به عنوان پارامتری مجزا

۱۰- مراجع

- Benjumea, R. &. (1968). A note on the penetration of a rigid wedge into a nonisotropic brittle material. technical report.
- Cook, N., Hood, M., & Tsai, F. (1984). In Observations of crack growth in hard rock loaded by an indenter. *International Journal of Rock Mechanics and Mining Sciences & Geomechanics*, 97-107.
- Pang, S., Goldsmith, W., & Hood, M. (1989). A force-indentation model for brittle rocks. *Rock Mechanics and Rock Engineering*, 127-148.

- Roxborough, F. F., & Phillips, H. R. (1975). In Rock excavation by disc cutter. *International Journal of Rock Mechanics and Mining Sciences & Geomechanics Abstracts*, 361-366.
- Ozdemir, L. (1977). Development of theoretical equations for predicting tunnel boreability. Colorado School of Mines.
- Sanio, H. (1985). In Prediction of the performance of disc cutters in anisotropic rock. *International Journal of Rock Mechanics and Mining Sciences & Geomechanics Abstracts*, 153-161.
- Sato, K., Gong, F., & Itakura, K. (1991). In Prediction of disc cutter performance using a circular rock cutting rig. *Proceedings 1st international mine mechanization and automation symposium*.
- Gertsch, R., Gertsch, L., & Rostami, J. (2007). Disc cutting tests in Colorado Red Granite: Implications for TBM performance prediction. *International Journal of rock mechanics and mining sciences*, 44 (2), 238-246.
- Rostami, J., & Ozdemir, L. (1993). In A new model for performance prediction of hard rock TBMs. *Proceedings of the Rapid Excavation and Tunneling Conference, SOCIETY FOR MINING, METALLOGY & EXPLORATION, INC*, (pp. 793-793).
- Rostami. (1997). Development of a force estimation model for rock fragmentation with disc cutters through theoretical modeling and physical measurement of crushed zone pressure. Colorado School of Mines.
- Rostami. (2013). Study of pressure distribution within the crushed zone in the contact area between rock and disc cutters. *International Journal of Rock Mechanics and Mining Sciences*, 57, 172-186.
- Cho, J.-W., Jeon, S., Jeong, H.-Y., & Chang, S.-H. (2013). Evaluation of cutting efficiency during TBM disc cutter excavation within a Korean granitic rock using linear-cutting-machine testing and photogrammetric measurement. *Tunnelling and Underground Space Technology*, 35, 37-54.
- Cho, J.-W., Jeon, S., Yu, S.-H., & Chang, S.-H. (2010). Optimum spacing of TBM disc cutters: A numerical simulation using the three-dimensional dynamic fracturing method. *Tunnelling and Underground Space Technology*, 25 (3), 230-244.
- ABAQUS Documentation. (2011). RI, USA: Dassault Systemes Simulia Corp.
- Zhang, G. &. (n.d.). Experimental Researches on Friction Coefficient for Disc Cutters.
- Mattar, P. (2009). In Permeability of intact and fractured Indiana Limestone. *Masters Abstracts International*.
- Schmidt, R. A. (1976). *Fracture-toughness testing of limestone*. Experimental Mechanics.
- Balci, C., & Bilgin, N. (2007). Correlative study of linear small and full-scale rock cutting tests to select mechanized excavation machines. *International Journal of Rock Mechanics and Mining Sciences*, 44, 468-476.
- Balci, C., & Tumac, D. (2015). Investigations into the cutting characteristics of CCS type disc cutters and the comparison between experimental, theoretical and empirical force estimations. *Tunnelling and Underground Space Technology*, 45, 84-98.